

東北大学工学部 正員 高橋克夫  
 同 学生員 高橋孝仁  
 同 同 高橋雅洋

## 1. 緒言

乱流下におけるガス吸収の理論は、現在までに数多く提出されているが、実験的検証はまだ十分に行なわれていないのが現状である。ここに代表的な理論を述べる。更新に最も寄与するスケールは最小渦であり、分子間力である表面張力が表面更新に対して抵抗する。表面張力に打ち勝って、表面が更新するために、エネルギーが消費される。このエネルギーは、液膜の更新率、表面張力および渦のスケールの2乗に比例、という理論がDobbins<sup>1)</sup>によって提出された。一方、表面張力のために液の乱れは自由表面まで到達せず、表面附近のある深さまで液体の主流と流れの機構が異なる膜が存在する、という理論はLevich<sup>2)</sup>の提案によるものである。乱流下の物質移動係数を理論的に説明しているこれら2つの理論は、酸素移動現象の今後の研究の基礎になると思われる。

本研究は攪拌槽自由表面からの酸素移動に関する実験を行ない、

上に述べた理論を基礎として考察を行なったものである。

## 2. 実験装置と実験方法

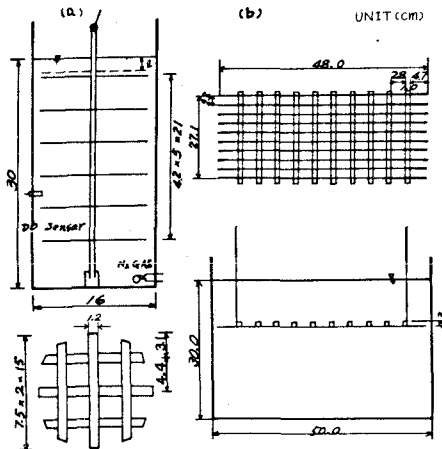
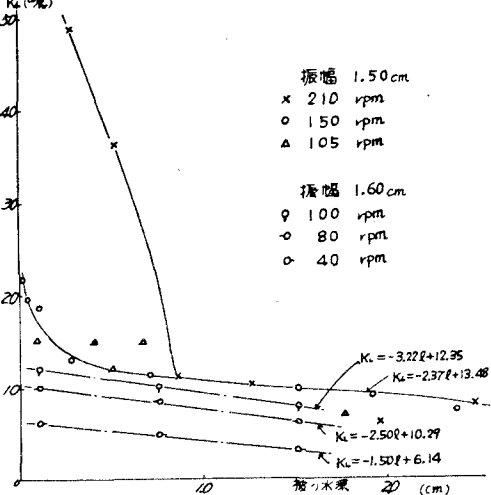
図-1(a)は塩化ビニール製の円筒型水槽。格子は底厚1mmのアルミニウム製で、4.1cm間隔に6枚置かれている。攪拌水槽は20°Cの恒温水槽中に設置し、蒸留水を使用。(b)は1枚の格子を用いた水槽で、温度のコントロールは行なわず、得られた酸素移動係数を20°Cの値に換算。水道水を使用。(a),(b)とも脱酸素は窒素ガスを使用し、溶存酸素計はベックマンFieldlab溶存酸素計を用いた。水深は30cmである。

## 3. 実験結果と考察

図-2は、横軸に格子が最も水面に近い位置から静水時の自由水面までの距離(被り水深)を、縦軸に液側総物質移動係数( $K_L$ )をと、図示した。ここで $K_L$ は、液側総括容量係数( $K_{La}$ ) $\times V/A(h)$ 。Vは体積、Aは静水時の気液接触面積、hは水深。水槽(a)の場合、格子の最下位から最上位までの距離(振幅)は1.6cm、水槽(b)は1.5cm。また、両装置は格子の型を含めて相似になつていないので、同時に取り扱うことには疑問が残るが、以下の考察では幾何学的相似に無関係に、格子の振動数と被り水深によつて $K_L$ が決まるものと仮定する。

水槽(a)の場合、振動数40, 80, 100 rpmと被り水深が小さくなるにつれて、 $K_L$ が増加する傾向が見られる。水槽(b)についてはも同様の傾向がある。ここで重要な違いは、被り水深が0.9cm以下になると $K_L$ が急増する現象であり、特に210 rpmの場合顕著に見られる。210 rpmの場合ほどではないが、150, 105 rpmの場合も同じような傾向がある。

図-1 実験装置

図-2  $K_L$  と被り水深

そこで、被り水深が0.9cmを境とする自由水面の様子を見たために写真-1を示した。 $K_L$ には面積の増加が考慮されていないことを考えると、面積の急増が $K_L$ の急激な増加を引き起した原因であろうと推察される。この意味で今まで述べてきた $K_L$ は“見かけの総括物質移動係数”と名づけたほうがよいであろう。

ガス吸収の理論を確立するためには、どうしても $K_L$ から面積の効果を取り除いて“真の $K_L$ ”を測定しなければならない。そして、先に述べた見かけの $K_L$ (以下、 $K'_L$ とする)から面積の効果を差し引き、真の $K_L$ (以下、これを $K_L$ とする)を求め、それでも $K_L$ が急増するならば、波の乱流構造まで立ち入って乱流構造の顕著な変化を見い出すであろう。

片岡・宮内<sup>4)</sup>は擬一次反応吸収を利用して、6枚平羽根タービン攪拌槽の自由表面の増加を求めた。これによれば、1.5倍程度増加している。片岡等の使用した水槽で1.5倍の増加が見られたことから判断して、写真に示された状態では、1.5倍を大きく上回ることは容易に想像されよう。また、波動水面の表面積の増加率は波高÷波長( $\lambda/L$ )で一律に表現できるので、写真に示された状態で波高および波長に相当するものを測定すれば、おおよその推察はできることであろう。図-3に $\lambda/L$ と表面積の増加率を示した。波動水面と格子の搅拌による水面の違いは、後者は凸凹が3次元的に生じていることである。このことから、格子の場合には図-3に示された値よりも大きな増加率を持つものと考えられる。

DobbinsとLevichの理論では、 $K_L$ は逆散エネルギーと物性によって決定されるとしている。Levichは自由表面に液膜の存在は仮定していないが、しかし自由表面へ更新する最小渦のスケールを膜の有効厚さとしており而論理とも具体的には液膜を想定していると解釈できる。ガス吸収に重要な関係があるのは自由水面での逆散エネルギーであり、このエネルギーは自由表面の膜により、液体と比べて著しく減少すると想像される。その様子を佐藤・石井等<sup>5)</sup>は搅拌槽を用いた実験を示した。また、宮内・片岡<sup>6)</sup>は自由表面近傍では $E_s$ は槽全体の $E_s$ の平均値の3~6%程度まで減衰していると述べている。

以上述べた液膜の存在、そしてそれによる自由表面近傍での逆散エネルギーの減衰という事実を認めれば、自由表面近傍の逆散エネルギーはある有限値を持つと考えられないだろうか。もしとうどすれば、搅拌強度のある値以上に高いと $K_L$ は増加せず、一定値に近づくということになる。そして、自由表面近傍の逆散エネルギーの有限値は気体および液体の物性値により決定されるのではないかと考えられる。

図-2で、210, 150, 105 rpmの場合の $K_L$ と被り水深との関係を

$$K_L = -2.37l + 13.48 \quad \text{ここで } l \text{ は被り水深(cm)} \quad \dots \dots \dots (1)$$

と仮定する。(1)式を用いて、 $l=0.1, 0.75$ および $1.50\text{cm}$ の時の $K_L$ を求め、これらの被り水深をパラメータとして、横軸を格子の振動数、縦軸に $K_L$ を取ったものを図-4に示した。図は各パラメータごとに $K_L$ がある一定値に近づくことを示しており、被り水深 $0.1\text{cm}$ の場合で $K_L$ は $14\text{cm/hr}$ の値に近づくことから、 $K_L$ の有限値はおおよそ $14\text{cm/hr}$ の値と考えられる。

図-2の斜線の部分をすべて面積の増加分と仮定しての以上のあいまいな考察は、今後表面積の効果を厳密に取り扱い修正していく必要があろうと考えている。

最後に本研究を行なうにあたり、協力をいただいた仙台市役所職員並びに木暮一郎氏に感謝いたします。

- 参考文献 1)Dobbins,W.E.;ASCE, p53-78, SA3, 1964. 2)Levich,V.G.;Physicochemical Hydrodynamics, Prentice Hall, p689-692, 1962. 3)油井彰;酸素吸収に関する一考察,修士学位論文,昭和46年度 4)片岡広・宮内照勝;化学工学,第30号, 第5号, p409-414, 1966. 5)佐藤行成・石井国元等;化学工学,第31号, 第3号, p275-281, 1967. 6)片岡広・宮内照勝;化学工学,第36号, 第8号, p888-896, 1972.



写真-1 格子の振動数 210 rpm、被り水深 0.9 cm

